

Е.А. Столбова, Л.С. Грошева, Т.В. Гордяскина
ФБОУ ВПО «ВГАВТ»

ИССЛЕДОВАНИЕ ЯВЛЕНИЯ ЭЛАЙСИНГА В ЦИФРОВЫХ СИСТЕМАХ С ПРИМЕНЕНИЕМ СИГНАЛЬНОГО ПРОЦЕССОРА TMS320C5510

В статье рассматривается практическое исследование явление элайсинга (наложения спектров) при цифровой обработке сигналов цифровым сигнальным процессором TMS320VC5510, причины возникновения этого явления и способы борьбы с ним.

Постановка задачи

В настоящее время в современных системах связи, мультимедийных устройствах, радиолокационном и радионавигационном оборудовании широко применяется цифровая обработка сигналов (ЦОС).

В процессе дискретизации аналоговых сигналов на практике возникает проблема, связанная с потерей информации при восстановлении аналогового сигнала [1]. Для корректного восстановления аналогового сигнала, подвергнутого дискретизации, необходимо проводить оцифровку информационного сигнала в соответствии с теоремой Котельникова.

$$\omega_d \geq 2 \omega_{\text{верхн}} \quad (1)$$

где ω_d – частота дискретизации аналогового сигнала,

$\omega_{\text{верхн}}$ – верхняя частота спектра аналогового сигнала, подвергаемого дискретизации.

Спектр дискретного сигнала представляет собой бесконечную сумму копий спектров аналогового сигнала X_a , сдвинутых друг относительно друга на частоту дискретизации ω_d . Выражение для спектра дискретизированного сигнала [1]:

$$X(e^{j\omega T}) = \frac{1}{T} \sum_{m=-\infty}^{\infty} X_a \left[j \left(\omega + m \frac{2\pi}{T} \right) \right], \quad (2)$$

где $m2\pi/T = m\omega_d$, $m = 0, \pm 1, \pm 2, \dots$

Для того чтобы сигнал эффективно (без потери информации) восстанавливался, нужно избежать элайсинга (aliasing – возможное наложение спектров аналоговых сигналов, подвергнутых дискретизации). Иллюстрация процесса формирования спектров дискретизированных сигналов при различных значениях частоты дискретизации ω_d аналогового сигнала приведена на рис. 1.

На практике в современной цифровой схемотехнике элайсинг устраняют двумя способами:

- 1) повышением частоты дискретизации ω_d аналогового сигнала;
- 2) применением антиэлайсинговых фильтров низкой частоты, подавляющих сигналы с частотой выше $\omega_d/2$.

Рассмотрим влияние частоты дискретизации ω_d на спектр дискретного сигнала, полагая, что спектр аналогового сигнала, подвергнутого дискретизации $X_a(j\omega)$, с верхней частотой $\omega_b = 2\pi f_b$ (Рис. 1а).

– Если частота дискретизации $\omega_d \geq 2 \omega_b$ (Рис. 1б, 1в), то в основной полосе частот ($0, \omega_d/2$) спектры аналогового и дискретного сигналов совпадают (не перекрываются).

– Если частота дискретизации $\omega_d < 2 \omega_b$, происходит наложение спектров (элайсинг), поэтому в основной полосе частот спектр дискретного сигнала представляет собой искаженный спектр аналогового сигнала (Рис. 1г).

Искажение спектра проявляется в виде возникновения дополнительной спектральной составляющей, зеркального отображения сигнала относительно частоты $\omega_d/2$. Эффект наложения спектров означает потерю возможности точного восстановления сигнала по его отсчетам, т.е. сигнал будет восстановлен с потерей информации (искажен). Данные выводы согласуются с теоремой Котельникова.

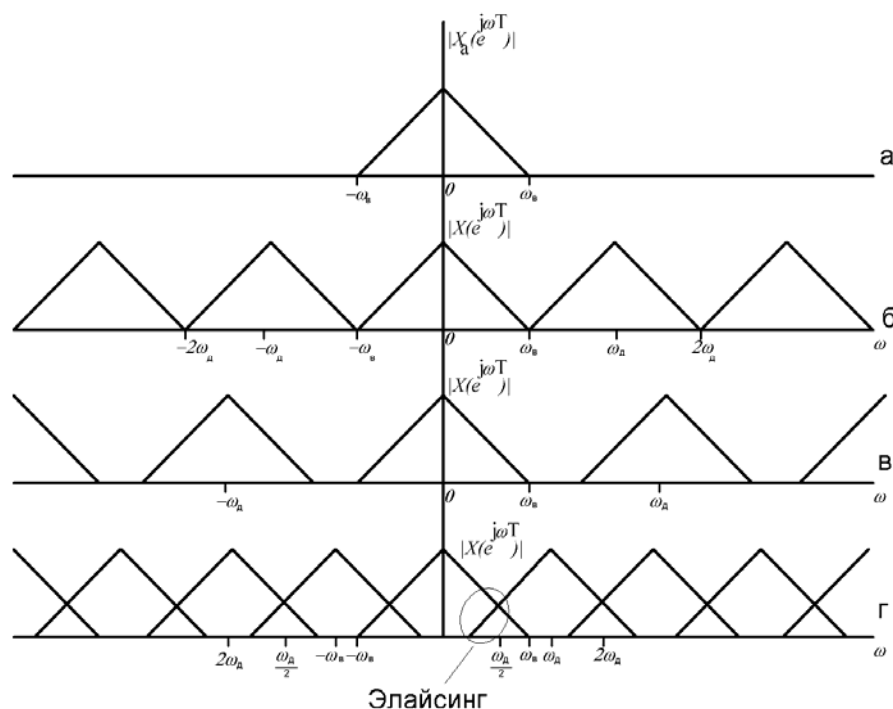


Рис. 1. Примеры спектров аналогового и дискретизированных сигналов

Практические исследования

Практическое подтверждение теории дискретизации аналоговых сигналов проводится с использованием цифрового сигнального процессора (ЦСП) TMS320C5510 [2]. Схема установки для проведения моделирования явления элайсинга содержит кодек АIC23, обеспечивающий аналого-цифровое и цифро-аналоговое преобразование сигналов с частотой дискретизации 48 кГц (рис. 2).

При исследовании элайсинга используются два способа:

- 1) В цифровую систему подается аналоговый гармонический сигнал с частотой выше $f_d/2$, то есть $f_{\text{сигнала}} > 24\text{кГц}$.
- 2) В цифровую систему подается аналоговый гармонический сигнал с частотой ниже $f_d/2$, но принудительно понижается частота дискретизации – в системе проводится децимация.

В первом способе на входной канал платы DSK подается гармонический сигнал с частотой больше $f_d/2$ с генератора GFG-8255A (программное генерирование сигнала ПК с помощью генератора тона – NCH Ton Generator с частотой выше 20 кГц не используется). Для сигнального процессора TMS320C5510 в оболочке **Code Compose Studio** разработана программа по исследованию входного и выходного сигналов, ос-

циллограммы и спектры которых отображаются на цифровом осциллографе PCS-500 [3].



Рис. 2. Схема лабораторной установки

При подаче сигнала с частотой $f_c \leq 24$ кГц в спектре выходного сигнала элайсинга нет, сигнал восстанавливается без потери качества (Рис. 3).

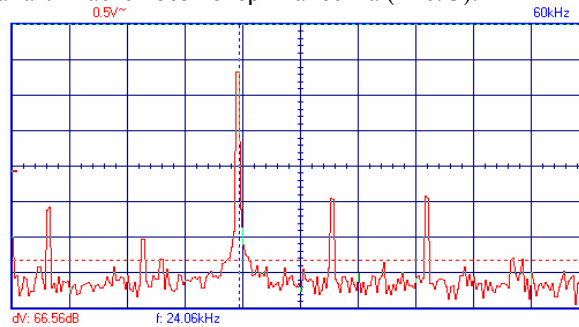


Рис. 3. Спектр выходного сигнала при $f_c = 24$ кГц

При увеличении частоты входного сигнала до 25 кГц, в выходном спектре, кроме спектральной составляющей на частоте 25 кГц, появляется дополнительная гармоника – помеха, зеркально отраженная от частоты $f_d/2=24$ кГц, на частоте 23 кГц, то есть, в системе наблюдается явление элайсинга (Рис. 4).

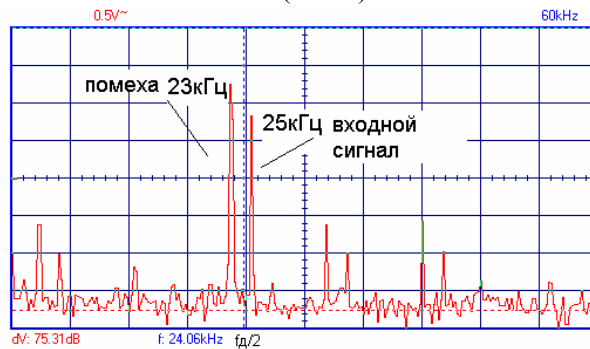


Рис. 4. Спектр выходного сигнала при $f_c = 25$ кГц

При дальнейшем увеличении частоты входного сигнала до 28 кГц, происходит постепенное уменьшение амплитуды спектральных составляющих на выходе (Рис. 5).

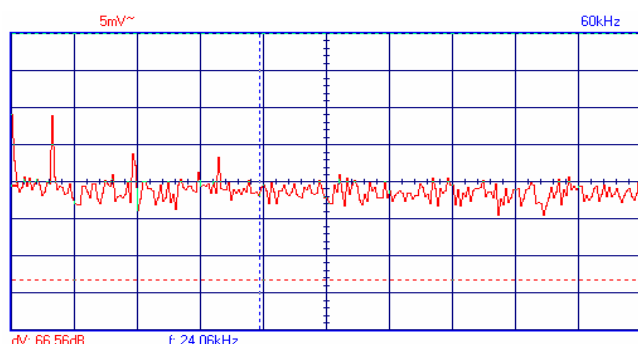


Рис. 5. Спектр выходного сигнала при $f_c = 28$ кГц

Анализируя работу лабораторной установки можно сделать следующий вывод: плата DSK снабжена антиэлайсинговым фильтром низких частот с $f_{\text{реза}} \approx 24$ кГц, подавляющим все частоты свыше 28 кГц. В диапазоне частот от 24 до 28 кГц сигнал подавляется не полностью, но отражённая помеха не будет попадать в звуковой диапазон частот, т.к. $f_{\text{помехи}} > 20$ кГц и она не будет прослушиваться.

Во втором способе на входной канал платы DSK подается гармонический сигнал звукового диапазона (200 Гц – 20 кГц) с ПК. Для формирования сигнала с присутствием явления элайсинга необходимо, чтобы не выполнялась теорема Котельникова (количество выборок за период гармонического колебания было меньше 2), то есть, в системе необходимо провести децимацию, искусственно снизить f_d . Частота дискретизации f_d , при которой появляется элайсинг, вычисляется по приведенной ниже методике.

Количество выборок $k\nu$ при стандартной частоте дискретизации:

$$k\nu = \frac{f_{\text{дискр.ст.}}}{f_{\text{сигнала}}}, \quad (3)$$

где $f_{\text{дискр.ст}}$ – стандартная частота дискретизации кодека 48 кГц, $f_{\text{сигнала}}$ – частота исследуемого гармонического сигнала.

Интервал децимации сигнала:

$$I_{\text{дец}} = \frac{k\nu}{2} + 2. \quad (4)$$

Таким образом, в процессе дискретизации будет выбираться каждая точка через промежуток, равный половине количества выборок при стандартной частоте дискретизации плюс 2 точки (количество добавляемых точек может быть большим), что обусловлено необходимостью искусственного нарушения теоремы Котельникова.

Частота дискретизации, при которой появляется элайсинг:

$$f_{\text{дискр}} = \frac{f_{\text{дискр.ст.}}}{I_{\text{дец}}} \quad (5)$$

Проведём расчет явления элайсинга для гармонического сигнала с частотой $f_{\text{сигнала}} = 1000$ Гц.
 $k\nu = 48000/1000 = 48$ – количество выборок сигнала за период;
 $I_{\text{дец}} = 48/2 + 2$ – интервал децимации сигнала;
 $f_{\text{дискр}} = 48000/26 = 1846$ – искусственно сниженная частота дискретизации;
 $f_{\text{дискр.с}}/2 = 1846/2 = 923$ Гц – частота, относительно которой происходит зеркальное отражение помехи;

$f_{\text{сигнала}} - f_{\text{дискр.с}} / 2 = 1000 - 923 = 77 \text{ Гц}$;
 $f_{\text{помехи}} = 923 - 77 = 846 \text{ Гц}$ – частота, на которой проявится помеха (наблюдается элайсинг).

Проведенный расчет подтвержден натурным экспериментом, результат которого представлен на рис. 6.

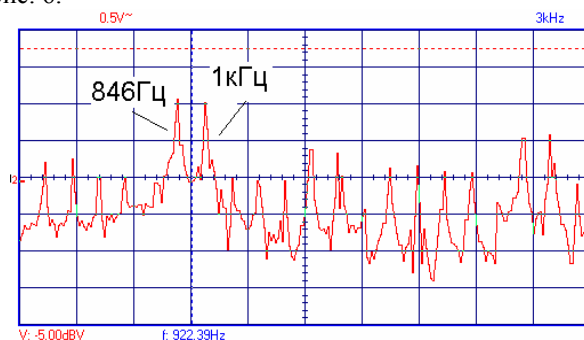


Рис. 6. Спектр выходного сигнала при децимации

Выводы

Приведенная в статье методика может быть использована в качестве лабораторной работы в дисциплине «Прикладные задачи цифровой обработки сигналов», внедрение которой в учебный процесс позволит студентам провести не только теоретическое изучение, но и практическое исследование фундаментальных основ цифровой обработки сигналов на примере явления элайсинга.

Список литературы:

- [1] Солонина А.И., Улахович Д.А., Арбузов С.М., Соловьёва Е.Б. Учебное пособие. «Основы цифровой обработки сигналов».
- [2] Грошева Л.С., Мерзляков В.И. Учебно-методические указания. «Цифровые сигнальные процессоры в радиооборудовании. Архитектура и прикладные задачи»
- [3] Гордяскина Т.В., Грошева Л.С. Учебно-методические указания Основы цифровой обработки сигналов в радиоэлектронном оборудовании

В.Ф. Сухова
ФБОУ ВПО «ВГАВТ»

ЦИКЛ ЛАБОРАТОРНЫХ РАБОТ ПО РАДИОЭЛЕКТРОНИКЕ ДЛЯ СТУДЕНТОВ СПЕЦИАЛЬНОСТИ «ТЕХНИЧЕСКАЯ ЭКСПЛУАТАЦИЯ ТРАНСПОРТНОГО РАДИООБОРУДОВАНИЯ»

В статье рассматриваются вопросы, связанные с организацией цикла лабораторных работ по дисциплине «Схемотехника» на базе промышленного стенда «Электроника»: методы сборки схем, примерный перечень заданий, требования, предъявляемые к оформлению отчета.

Данный цикл лабораторных работ, предназначен для изучения раздела «Схемотехника цифровых устройств» дисциплины «Схемотехника».

На кафедре уже выполняется цикл лабораторных работ по цифровой схемотехни-